

Rubén Darío Ledesma-Acosta rledesma@uea.edu.ec Universidad Estatal Amazónica, Puyo, Pastaza, Ecuador https://orcid.org/0000-0002-2086-0185

Miguel Ángel Guilcamaigua-Tarco miguel.guilcamaigua@istfo.edu.ec Instituto Superior Tecnológico Francisco de Orellana, Puyo, Pastaza, Ecuador https://orcid.org/0000-0003-3617-753X

> Jenny Paola Garay-Montaño jenngaray95@gmail.com Red de Investigación Koinonía, Puyo, Pastaza, Ecuador https://orcid.org/0009-0009-9914-4744

RESUMEN

El objetivo de este estudio es calcular la demanda energética de un bus de trasporte público del catón Pastaza en una ruta de mayor recorrido para consideración de proyectos de electromovilidad en el cantón Pastaza. Se realizó 32 ensayos durante el recorrido real de una ruta del servicio de transporte público en una distancia de 22.23 [km], determinando la altitud positiva acumulativa, el ciclo típico y el consumo energético mediante el calculando de: Resistencia a la rodadura [E.Rx], Fuerza de arrastre [E.Fd], Resistencia debido a la pendiente [E.Rg], Resistencia debido a la inercia [E.Rt] y Energía ganadas [E+]. Las altitudes positivas acumulativas en los tres días de ensayo fueron 297.97 [m], 293.83 [m] y 272.40 [m] respectivamente; la demanda energética de la ruta de estudio en función al ciclo típico fue determinada en el ensayo 26 donde su demanda energética fue de 224.18 [kwh].

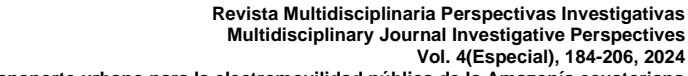
Descriptores: transporte; economía del transporte; planificación del transporte. (Fuente: Tesauro UNESCO).

ABSTRACT

The objective of this study is to calculate the energy demand of a public transport bus of the Pastaza canton on a longer route for consideration of electromobility projects in the Pastaza canton. Thirty-two tests were carried out during the actual route of a public transport service over a distance of 22.23 [km], determining the cumulative positive altitude, the typical cycle and energy consumption by calculating: Rolling resistance [E.Rx], Drag force [E.Fd], Resistance due to slope [E.Rg], Resistance due to inertia [E.R?] and Energy gained [E+]. The cumulative positive altitudes on the three test days were 297.97 [m], 293.83 [m] and 272.40 [m] respectively; the energy demand of the study route as a function of the typical cycle was determined on test 26 where its energy demand was 224.18 [kwh].

Descriptors: transport; transport economics; transport planning. (Source: UNESCO Thesaurus).

Recibido: 19/02/2024. Revisado: 22/02/2024. Aprobado: 28/02/2024. Publicado: 14/03/2024. Sección artículos de investigación





Demanda energética del transporte urbano para la electromovilidad pública de la Amazonía ecuatoriana Urban transport energy demand for public electromobility in the Ecuadorian Amazon Rubén Darío Ledesma-Acosta Miguel Ángel Guilcamaigua-Tarco Jenny Paola Garay-Montaño

INTRODUCCIÓN

En el 2019 Ecuador inicia con la aplicación de leyes que contribuyan al cambio de la transición del transporte basado en combustibles hacia el transporte eléctrico que refleja el interés sostenido en adoptar un modelo más sostenible y racional. El artículo 14 de la Ley Orgánica de Eficiencia Energética, menciona que a partir del año 2025 todos los vehículos que se incorporen al servicio de transporte público urbano e interparroquial, en el Ecuador continental, deberán ser únicamente de medio motriz eléctrico (Ley Orgánica de Eficiencia Energética [LOEE],2019).

El transporte público ha sido un componente crucial en la economía y la sociedad durante muchos años, al mismo tiempo que ha suscitado preocupación en el ámbito ambiental debido a las emisiones gaseosas resultantes de la combustión de combustibles fósiles (León, 2020). Las emisiones de gases de efecto invernadero provenientes del sector del transporte en Ecuador son de 19.057 kton de CO2, 68 kton de N2O y 132 kton de CH4 (Ministerio de Energía y Minas, 2021).

En la actualidad, Ecuador cuenta con una población de 16,938,986 habitantes, donde la población económicamente activa (PEA) abarca a aquellos de 18 a 64 años. Dentro de este grupo, el 63,6% de las personas entre 18 y 30 años utilizan el transporte público, mientras que, entre aquellos de 31 a 64 años, esta cifra es del 52,78% (Instituto Nacional de Estadísticas y Censo [INEC], 2023). Ahora bien, la provincia de Pastaza tiene una población de 83,933 habitantes, de los cuales el 46,13% conforma la PEA, y en su mayoría, el uso de transporte público es su principal medio de movilización (Guevarra, 2019). Se destaca que persiste una importante dependencia de buses que utilizan diésel como fuente energética.

Al querer implementar buses eléctricos, es necesario definir cuatro parámetros esenciales en el ámbito técnico: costos iniciales, especificaciones del vehículo, características del tren de potencia y costos de funcionamiento y mantenimiento. Además, se debe realizar un análisis ambiental considerando factores como el clima, el perfil de altitud y su relación con el ciclo de las rutas (Zumba, 2018). Para Ecuador, la electromovilidad puede presentar nuevas fuentes de empleo en la industria digital y automotriz. Según el informe de balance energético nacional, la generación eléctrica bruta es de 32,047 GWh, y el sector del transporte ocupa 11 GWh (Ministerio de Energía y Minas, 2021). Al adoptar esta estrategia en el sector del transporte público, Ecuador se alinea con los Objetivos de Desarrollo Sostenible para el año 2030, específicamente los objetivos 7 y 13.

El objetivo principal de este estudio es calcular la demanda energética de un bus de trasporte público del catón Pastaza en una ruta de mayor recorrido para consideración de proyectos de electromovilidad en el cantón Pastaza.

MÉTODO

Registro de datos en la ruta de análisis

Se seleccionó una ruta específica del transporte urbano en la ciudad de Puyo del cantón Pastaza, optando por aquella Cooperativa de Transporte Urbano que recorre la mayor distancia. En la Figura 1 se muestra el recorrido inicial que es desde el sector El Placer en la parroquia Tarqui y culmina en el Dique Pambay. La distancia total es de 22.23 km, distribuido en 11.69 km de ida desde El Placer hasta el Dique Pambay, y el retorno se realiza desde el Dique de Pambay hasta El Placer recorriendo 10.54 km. A este itinerario se denominada "Ruta 3".



Demanda energética del transporte urbano para la electromovilidad pública de la Amazonía ecuatoriana Urban transport energy demand for public electromobility in the Ecuadorian Amazon Rubén Darío Ledesma-Acosta Miguel Ángel Guilcamaigua-Tarco Jenny Paola Garay-Montaño

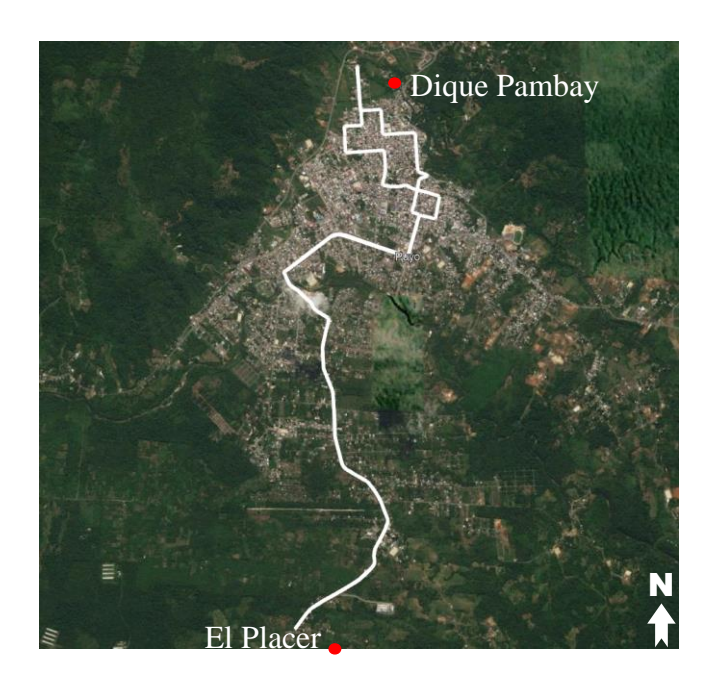


Figura 1

Ruta desde El Placer en Tarqui hasta Dique Pambay en Puyo

La cooperativa de transporte utiliza 6 unidades y realiza 11 viajes diarios, en el cual, se registró información del trayecto como: Tiempo t [s], Aceleración a(t) [m/s²], Velocidad v(t) [km/h] y Altitud h_{gps}(t) [m], los mismos que se presentan en la Tabla 2. Los datos se obtuvieron con un bus de trasporte urbano en 32 ensayos de viaje, en condiciones reales durante tres días consecutivos, registrando datos entre 4061 a 4805 con el uso de un GPS navegador modelo GPSMAP 64sx de marca GARMIN que dispone en su sistema operativo un mapa topográfico restablecido. Las características del bus corresponden a un vehículo de acuerdo con las normas ecuatorianas INEN 2255: 2000, INEN 1658:2015, y de características como se presenta en la Tabla 1

Tabla 1. Datos del vehículo usado en las 32 pruebas.

| Magnitud | Dimensión | Valor | Símbolo |
|--|-----------|----------|---------|
| Masa | М | 12375,00 | kg |
| Coeficiente de arrastre | Cd | 0,75 | |
| Coeficiente de resistencia a la rodadura | fr | 0,0092 | |
| Gravedad | g | 9,789 | m/s² |
| Área frontal | Α | 6,63 | m² |
| Densidad del aire | ρа | 1,015 | kg/m³ |
| Radio dinámico | Rd | 0,51 | M |
| Número de pasajeros | | 55 | Pax |

Obtenido las 32 pruebas de viaje, se efectuó una limpieza de datos con el objetivo de eliminar posibles errores en la pendiente que podrían afectar a la Resistencia debido a la pendiente (Rd) y Resistencia a la rodadura (Rx). Este proceso se realizó con el uso del software en línea disponible en https://www.gpsvisualizer.com/. Los datos rectificados se usaron para realizar el cálculo de la pendiente corregida mediante el Reglamento de la Unión Europea (UE) 2017/1151 de la comisión de 1 de junio de 2017 (Diario Oficial de la Unión Europea, 2017) el



Rubén Darío Ledesma-Acosta Miguel Ángel Guilcamaigua-Tarco Jenny Paola Garay-Montaño

mismo que especifica en el Apéndice 7b el "Procedimiento para determinar la ganancia de altitud positiva acumulativa de un trayecto".

Metodología para determinar la ganancia de altitud positiva acumulativa

Verificación fundamental de la calidad de datos de la señal del GPS. Los datos registrados fueron comprobados que las velocidades instantáneas del bus estén completas, si es el caso de faltar datos, se debe interpolar usando un sensor de velocidad referenciado con un mapa topográfico. En el caso de esta investigación, los datos interpolados se corrigieron con la Ecuación 1.

Ecuación 1

Donde:

$$\left|h_{GPS}(t) - h_{map}(t)\right| > 40 m$$

$$h(t) = h_{map}(t)$$

h(t) = altitud del vehículo tras el examen y la verificación fundamental de la calidad de los datos en el punto de datos t en metros sobre el nivel del mar [m.s.n.m],

 $h_{GPS}(t)$ = altitud del vehículo medida con GPS en el punto de datos t [m.s.n.m],

 $h_{map}(t) =$ altitud del vehículo según el mapa topográfico en el punto de datos t [m.s.n.m].

Corrección de los datos de altitud instantánea del vehículo. Los datos de la altitud inicial h(0) en la distancia inicial d(0) del recorrido del bus, se usaron de los registrados con el GPS y posteriormente se verificó con un mapa topográfico de forma que los valores de la desviación no sean superiores a 40 m. Los datos de la altitud instantánea h(t) se corrigió aplicando la Ecuación 2.

Ecuación 2

Donde:

$$|h(t) - h(t-1)| > \left(\frac{v(t)}{3.6} * sin45^{\circ}\right)$$

$$|h(t) - h(t-1)| > \left(\frac{5(6)}{3.6} * \sin 45^{\circ}\right)$$

$$h_{corr}(t) = h_{corr}(t-1)$$

h(t) =altitud del vehículo tras el examen y la verificación fundamental de la calidad de los datos en el punto de datos t [m.s.n.m],

h(t-1) = altitud del vehículo tras el examen y la verificación fundamental de la calidad de los datos en el punto de datos t-1 [m.s.n.m],

v(t) = velocidad del vehículo en el punto de datos t

 $h_{corr}(t)$ = altitud instantánea corregida del vehículo en el punto de datos t [m.s.n.m],

 $h_{corr}(t-1) =$ altitud instantánea corregida del vehículo en el punto de datos t-1 [m.s.n.m].

Cálculo de la ganancia de altitud positiva acumulativa. La distancia total dtol [m] del recorrido del bus se determinó sumando las distancias instantáneas di como lo indica la Ecuación 3.

Ecuación 3

Donde:

Rubén Darío Ledesma-Acosta Miguel Ángel Guilcamaigua-Tarco Jenny Paola Garay-Montaño

$$d_i = \frac{v_i}{3.6}$$
 $d_i = ext{distancia instantánea [m]},$ $v_i = ext{velocidad instantánea del vehículo [km/h]}.$

La ganancia de la altitud acumulativa se calculó en función a los datos de resolución espacial constante de 1 [m] considerando la primera medición de la salida del bus d(0) y a su valor se denominó "Punto de ruta" caracterizado con el valor de distancia específico d y su altitud h(d) [m sobre nivel del mar]. Para la altitud de cada punto de la ruta discreto d del bus se calculó interpolando la altitud instantánea $h_{corr}(t)$ como lo indica en la Ecuación 4.

$$h_{ins}(d) = h_{corr}(0) + \frac{h_{corr}(1) - h_{corr}(0)}{d_1 - d_0} * (d - d_0)$$
 Ecuación 4

Donde:

 $h_{ins}(d)$ = altitud interpolada en el punto de ruta discreto considerado d [m.s.n.m],

 $h_{corr}(0)$ = altitud corregida inmediatamente antes del respectivo punto de ruta d [m.s.n.m],

 $h_{corr}(1)$ = altitud corregida inmediatamente después del respectivo punto de ruta d [m.s.n.m],

d = distancia acumulativa recorrida hasta el punto de ruta discreto considerado d [m],

 $d_0 =$ distancia acumulativa recorrida hasta la medición inmediatamente antes del respectivo punto de ruta d [m],

 d_1 = distancia acumulativa recorrida hasta la medición inmediatamente después del respectivo punto de ruta d [m].

Suavizado adicional de los datos. A los valores de la altitud de cada punto de la ruta discreto d, se suavizó considerando d_a como punto de ruta primera y d_c como punta de ruta última. Para el suavizado, se aplicó dos rondas, la primera se usó con las siguientes ecuaciones.

$$road_{grade,1}(d) = \frac{h_{int}(d+200m) - h_{int}(d_a)}{(d+200m)} para d \le 200m$$
 Ecuación 5

$$road_{grade,1}(d) = \frac{h_{int}(d_e) - h_{int}(d - 200m)}{d_e - (d - 200m)} para d \ge (d_e - 200m)$$
 Ecuación 7

$$h_{int,sm,1}(d) = h_{int,sm,1}(d-1m) + road_{qrade,1}(d), d = d_a + 1 a d_e$$
 Ecuación 8

$$h_{int,sm,1}(d_a) = h_{int}(d_a) + road_{grade,1}(d_a)$$
 Ecuación 9

Donde:

 $road_{grade,1}(d)$ = pendiente de la carretera suavizada en el punto de ruta discreto considerado tras la primera ronda de suavizado [m/m],

 $h_{int}(d)$ = altitud interpolada en el punto de ruta discreto considerado d [m.s.n.m],



Rubén Darío Ledesma-Acosta Miguel Ángel Guilcamaigua-Tarco Jenny Paola Garay-Montaño

 $h_{int,sm,1}(d)$ = altitud interpolada suavizada, tras la primera ronda de suavizado en el punto de ruta discreto considerado d [m.s.n.m],

d = distancia acumulativa recorrida en el punto de ruta discreto considerado [m],

 d_a = punto de ruta de referencia a una distancia de 0 metros [m],

 $d_e=$ distancia acumulativa recorrida hasta el último punto de ruta discreto [m].

Para realizar el suavizado de la segunda ronda, se utilizaron las siguientes ecuaciones:

$$road_{grade,2}(d) = \frac{h_{int,ms,1}(d+200m) - h_{int,sm,1}(d_a)}{(d+200m)} para d \le 200m$$
 Ecuación 10

$$road_{grade,2}(d) = \frac{h_{int,ms,1}(d+200m) - h_{int,sm,1}(d-200m)}{(d+200m) - (d-200m)} \; para \; 200m < d < \; (d_e - 200m)$$

Ecuación 11

$$road_{grade,2}(d) = \frac{h_{int,sm,1}(d_e) - h_{int,sm,1}(d-200m)}{d_e - (d-200m)} para d \ge (d_e - 200m)$$

Ecuación 12

Donde:

 $road_{grade,2}(d)$ = pendiente de la carretera suavizada en el punto de ruta discreto considerado tras la segunda ronda de suavizado [m/m],

 $h_{int,ms,1}(d)$ = altitud interpolada suavizada, tras la primera ronda de suavizado en el punto de ruta discreto considerado d [m.s.n.m],

d = distancia acumulativa recorrida en el punto de ruta discreto considerado [m]

 d_a = punto de ruta de referencia a una distancia de 0 metros [m],

 d_e = distancia acumulativa recorrida hasta el último punto de ruta discreto [m].

Resultado final de la altitud positiva. La altitud positiva acumulativa ganada en la Ruta 3 se calculó integrando todas las pendientes positivas de la carretera interpoladas y suavizadas, es decir, $road_{grade,2}(d)$. Adicional, se normalizó el resultado por la distancia total de la Ruta 3 que es 22.23 [km] y expresado en [m] la ganancia de altitud acumulativa por cada 100 [km] de distancia recorrida.

Metodología para el cálculo del consumo energético y ciclo típico de conducción

Concluida la corrección de la pendiente, se calculó el ciclo típico de conducción y el consumo energético del bus. La metodología para el ciclo de conducción se realizó mediante el método directo que según (Pinto Gómez de las Heras, 2011) se caracteriza por un recorrido de un vehículo en situación de tráfico real que representa información detallada para saber el comportamiento del vehículo bajo conducción, y de acuerdo con (Astudillo, 2016) los ciclos de conducción de rutas reales en tránsito presentan variaciones de la velocidad en cada instante del recorrido.

Las variables consideradas para el análisis del ciclo de conducción son de acuerdo con (Restrepo et al. 2007) que corresponde a: velocidad, tiempo, distancia, altitud y/o pendiente de

Jenny Paola Garay-Montaño



Demanda energética del transporte urbano para la electromovilidad pública de la Amazonía ecuatoriana Urban transport energy demand for public electromobility in the Ecuadorian Amazon Rubén Darío Ledesma-Acosta Miguel Ángel Guilcamaigua-Tarco

la ruta, y también, las variables del vehículo presentadas en la Tabla 2. Para prescribir el ciclo típico de los 32 ensayos de la Ruta 3, se usó la metodología de (Urgilés-Amoroso & Urgilés-Verdugo, 2021) que consiste analizar los valores de los porcentajes de las diversas energías comprometidas en el ciclo de conducción para aplicar el método de diferencias mínimas relativas en predictores utilizando una regresión lineal múltiple. Los predictores que se asignó corresponde a: tiempo de recorrido, distancia, variaciones de la velocidad, paradas, variaciones de la aceleración, relación aceleración-velocidad, y los variables a predecir que son las correspondientes a la demanda del consumo energético. Con esta metodología permitió disminuir la multicolenialidad entre variables dependientes e independiente realizando una matriz ortogonal.

Para el cálculo de la demanda del consumo energético del bus, se aplicó la metodología establecida por (Zumba, 2018) empleando las siguientes ecuaciones:

Resistencia a la rodadura. Se refiere a la resistencia que experimenta los neumáticos con la calzada de la vía cuando está en movimiento considerando el ángulo de la pendiente para cada instante del tiempo. Esto se expresa en la Ecuación 13.

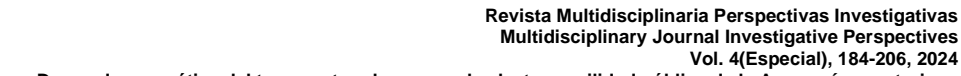
Ecuación 13 Donde: $Rx = fr * M * g * Cos\theta$ Rx = resistencia a la rodadura [N] fr = coeficiente de resistencia a la rodadura [cd] M = masa [kg] $g = \text{gravedad [m/s}^2]$ $\theta = p\text{endiente del camino [rad]}$

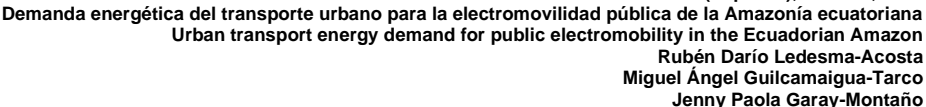
Fuerza de arrastre. Es la fuerza aerodinámica que ejerce el motor del bus en movimiento, como lo expresa la Ecuación 14.

Ecuación 14 Donde: $Fd = \frac{1}{2} * Cd * \rho a * A * v^2$ Fd = fuerza de arrastre [N] Cd = coeficiente de arrastre [cd] $\rho a = \text{densidad del aire [kg/m^3]}$ A = área frontal del vehículo [m²] v = velocidad [m/s]

Resistencia debida a la pendiente. El bus en movimiento ejerce una resistencia por el piso a desnivel o pendiente, es decir, es la resistencia opuesta generada constituida por la masa del vehículo y el ángulo de la pendiente. Para el cálculo se usó la Ecuación 15.

Ecuación 15 Donde: $Rg = M * g * Sen\theta$ Rg = resistencia debida a la pendiente [N] M = masa [kg] $g = \text{gravedad [m/s}^2]$ $\theta = \text{pendiente del camino [rad]}$





Resistencia debido a la inercia. Se manifiesta en el bus un movimiento cuando ejerce una fuerza superior a la de la inercia, esto se calcula con la Ecuación 16.

Ecuación 16 Donde:

 $R\iota = M * a$ $R\iota = \text{resistencia debida a la inercia [N]}$

M = masa [kg]

 $a = aceleración [m/s^2]$

Torque en la rueda. La potencia y el par motor del bus transmite a las ruedas la fuerza que impulsa para realizar el desplazamiento del bus. Mediante la Ecuación 17 se pudo calcular el torque en la rueda del bus.

Ecuación 17 Donde:

 $\tau_x = F_x * Rd$ $\tau_x = \text{torque de rueda [Nm]}$

Fx = fuerza en rodadura [N] Rd = radio dinámico [m]

Potencia en la rueda. Con la Ecuación 18, se calculó el valor de energía en función al tiempo que el motor del bus traslada a las ruedas mediante la transmisión.

Ecuación 18 Donde:

 $P_x = F_x^* v$ $F_x = \text{fuerza de rodadura [N]}$

V = velocidad [m/s]

Demanda de energía. Se basa en la cantidad de energía requerida para realizar el recorrido del bus por todo su trayecto de ruta. Esta energía se calculó con la Ecuación 19.

Ecuación 19 Donde:

 $E_x = P_x * \Delta t$ $E_x = \text{demanda de energía } [kWh]$

 P_x = potencia en rueda [kW] Δt =variación del tiempo [s]

Fuerza en la rueda. Considerada como la sumatoria de las fuerzas que se resisten al movimiento del bus, como lo expresa la Ecuación 20.

Ecuación 20 Donde:

 $F_x = F_d + R_x + R_l + R_g$ F_x = fuerza en rueda [N]

 F_{σ} = fuerza de arrastre [N]

 R_x = resistencia a la rodadura [N] R_t = resistencia a la inercia [N] R_g = resistencia a la pendiente [N]

Jenny Paola Garay-Montaño



Demanda energética del transporte urbano para la electromovilidad pública de la Amazonía ecuatoriana Urban transport energy demand for public electromobility in the Ecuadorian Amazon Rubén Darío Ledesma-Acosta Miguel Ángel Guilcamaigua-Tarco

RESULTADOS

Se presentan los resultados obtenidos:

Registro del recorrido en los 32 ensayos con GPS

La información obtenida del recorrido del bus de transporte público en la Ruta 3, se realizó sin detener el registro del GPS en las paradas de buses, en los semáforos, ni en momentos que el bus espera a pasajeros. En los tres días de registro de datos, el conductor no apagó el motor del bus. Los datos registrados para el cálculo de la pendiente se presentan de forma sucinta, es decir, en los tiempos iniciales uno, medios y últimos, esto debido a que los datos del tiempo [s] de los ensayos fueron entre 4061 a 4805.

La topografía donde recorre el bus de transporte público tiene valores de pendiente positiva de 2.17 [%] y de -2.42 [%] como negativa. En todo el trayecto el bus no experimenta pendientes superiores al 6%, es decir, la topografía en la zona urbana de Puyo se puede considerar de falso plano con pendiente menores al 6%.

Determinación de la ganancia de altitud positiva acumulativa

En la verificación fundamental de la calidad de los datos registrados en la Ruta 3, se realizó identificando datos faltantes de la velocidad instantánea y de la altitud instantánea. En los 32 ensayos los datos de velocidad y altitud fueron registrados satisfactoriamente con el GPS GARMIN GPSMAP 64xs. Para efectos de aplicación de la metodología, se presenta la corrección de los datos interpolados aplicando la Ecuación 1, y su resultado se representa como h(t) en la Tabla 2.

Tabla 2. Corrección de la altitud instantánea del recorrido del bus.

| Ensavo | Tiempo t | Aceleración | v(t) | hGPS(t | hmap(t) | | hcorr(t) | | dacum |
|--------|----------|-------------|--------|--------|---------|----------|----------|--------|---------|
| Ensayo | [s] | a(t) | [km/h] |) [m] | [m] | h(t) [m] | [m] | di [m] | [m] |
| | | [m/s2] | | | | | | | |
| | 1 | 0.47 | 1.7 | 950.0 | 931.0 | 950.0 | 950.0 | 0.5 | 0.5 |
| 1 | 2296 | 0.27 | 35.7 | 959.0 | 936.5 | 959.0 | 959.0 | 9.9 | 10997.8 |
| | 4587 | -0.48 | 4.8 | 958.0 | 931.2 | 958.0 | 958.0 | 1.3 | 21086.9 |
| | 1 | 0.97 | 3.5 | 958.0 | 931.2 | 958.0 | 958.0 | 1.0 | 1.0 |
| 2 | 2053 | 1.95 | 10.4 | 956.0 | 931.1 | 956.0 | 956.0 | 2.9 | 10444.4 |
| | 4105 | -0.30 | 5.5 | 959.0 | 931.0 | 959.0 | 959.0 | 1.5 | 21065.7 |
| | 1 | -0.14 | 1.3 | 959.0 | 931.0 | 959.0 | 959.0 | 0.4 | 0.4 |
| 3 | 2112 | 0.61 | 34.0 | 958.0 | 936.6 | 958.0 | 958.0 | 9.5 | 10998.7 |
| | 4223 | -0.35 | 1.9 | 958.0 | 931.1 | 958.0 | 958.0 | 0.5 | 21141.1 |
| | 1 | 1.49 | 5.4 | 957.0 | 931.1 | 957.0 | 957.0 | 1.5 | 1.5 |
| 4 | 2295 | -0.13 | 12.7 | 957.0 | 931.8 | 957.0 | 957.0 | 3.5 | 9848.5 |
| | 4588 | 0.17 | 0.6 | 951.0 | 931.2 | 951.0 | 951.0 | 0.0 | 21135.2 |
| E | 1 | 1.77 | 6.4 | 948.0 | 931.1 | 957.0 | 957.0 | 1.5 | 1.5 |
| 5 | 2310 | 0.75 | 36.2 | 960.0 | 931.8 | 957.0 | 957.0 | 3.5 | 9848.5 |



| | | Aceleración | | | | | | | |
|--------|--------------|-------------|----------------|-----------------|----------------|----------|-----------------|--------|---------|
| Ensayo | Tiempo t [s] | a(t) | v(t) [km/h] | hGPS(t) [m] | hmap(t) [m] | h(t) [m] | hcorr(t) [m] | di [m] | dacum |
| | [-] | [m/s2] | [] | , [] | [] | | [] | | [m] |
| | 4617 | 0.34 | 1.2 | 966.0 | 931.2 | 951.0 | 951.0 | 0.2 | 21135.2 |
| | 1 | 0.56 | 2.0 | 966.0 | 931.2 | 948.0 | 948.0 | 1.8 | 1.8 |
| 6 | 2207 | 0.67 | 12.2 | 967.0 | 928.2 | 960.0 | 960.0 | 10.1 | 10306.0 |
| | 4412 | 0.01 | 1.0 | 954.0 | 931.0 | 966.0 | 967.0 | 0.3 | 21136.0 |
| | 1 | 1.32 | 4.8 | 954.0 | 931.3 | 954.0 | 954.0 | 1.3 | 1.3 |
| 7 | 2281 | 0.14 | 30.6 | 956.0 | 930.2 | 956.0 | 956.0 | 8.5 | 10449.4 |
| | 4561 | -0.18 | 0.1 | 951.0 | 931.3 | 951.0 | 951.0 | 0.0 | 21110.8 |
| | 1 | 1.13 | 4.1 | 965.0 | 931.2 | 965.0 | 967.0 | 1.1 | 1.1 |
| 8 | 2316 | 0.30 | 55.0 | 953.0 | 930.1 | 953.0 | 953.0 | 15.3 | 10421.8 |
| | 4630 | 0.13 | 4.0 | 957.0 | 931.1 | 957.0 | 957.0 | 1.1 | 21070.2 |
| | 1 | 0.97 | 3.5 | 957.0 | 931.2 | 957.0 | 957.0 | 1.0 | 1.0 |
| 9 | 2316 | -1.42 | 44.7 | 964.0 | 938.2 | 964.0 | 964.0 | 12.4 | 10753.7 |
| | 4378 | -0.50 | 0.1 | 955.0 | 931.3 | 955.0 | 955.0 | 0.0 | 21064.6 |
| | 1 | 0.95 | 3.4 | 956.0 | 931.3 | 956.0 | 955.0 | 1.0 | 1.0 |
| 10 | 2142 | 0.06 | 18.3 | 952.0 | 931.6 | 952.0 | 952.0 | 5.1 | 9826.0 |
| | 4282 | -0.55 | 0.3 | 949.0 | 930.6 | 949.0 | 949.0 | 0.1 | 21073.1 |
| | 1 | 1.10 | 4.0 | 949.0 | 930.6 | 949.0 | 949.0 | 1.1 | 1.1 |
| 11 | 2270 | 0.17 | 21.6 | 952.0 | 928.8 | 952.0 | 952.0 | 6.0 | 10049.9 |
| | 4538 | -0.41 | 3.0 | 950.0 | 930.9 | 950.0 | 950.0 | 8.0 | 21155.8 |
| | 1 | 1.20 | 4.4 | 950.0 | 930.9 | 950.0 | 950.0 | 1.2 | 1.2 |
| 12 | 2379 | 0.11 | 31.7 | 957.0 | 935.6 | 957.0 | 957.0 | 8.8 | 11025.3 |
| | 4556 | 0.21 | 2.5 | 948.0 | 931.1 | 948.0 | 949.0 | 0.7 | 21073.5 |
| | 1 | 0.88 | 3.2 | 948.0 | 931.1 | 948.0 | 947.0 | 0.9 | 0.9 |
| 13 | 2223 | 0.01 | 10.3 | 958.0 | 932.5 | 958.0 | 958.0 | 2.9 | 9871.8 |
| | 4443 | -0.25 | 0.1 | 945.0 | 931.3 | 945.0 | 945.0 | 0.0 | 21160.2 |
| | 1 | 0.87 | 3.1 | 945.0 | 931.3 | 945.0 | 945.0 | 0.9 | 0.9 |
| 14 | 2145 | 0.19 | 15.9 | 959.0 | 942.0 | 959.0 | 959.0 | 4.4 | 10860.4 |
| | 4288 | -0.51 | 0.5 | 947.0 | 931.2 | 947.0 | 947.0 | 0.1 | 21080.1 |
| 15 | 1 | 0.87 | 3.1 | 949.0 | 931.0 | 949.0 | 949.0 | 0.9 | 0.9 |
| 15 | 2135 | -0.27 | 6.4 | 954.0 | 930.7 | 954.0 | 954.0 | 1.8 | 9500.3 |



| | | Aceleración | | | | | | | |
|--------|--------------|-------------|----------------|-----------------|----------------|----------|-----------------|--------|---------|
| Ensayo | Tiempo t [s] | a(t) | v(t) [km/h] | hGPS(t) [m] | hmap(t) [m] | h(t) [m] | hcorr(t) [m] | di [m] | dacum |
| | [-] | [m/s2] | [] | / [···] | [] | | [] | | [m] |
| | 4269 | -0.22 | 0.6 | 956.0 | 931.2 | 956.0 | 956.0 | 0.2 | 21106.0 |
| | 1 | 0.90 | 3.2 | 955.0 | 931.2 | 955.0 | 956.0 | 0.9 | 0.9 |
| 16 | 2155 | -0.25 | 0.0 | 955.0 | 930.8 | 955.0 | 955.0 | 0.0 | 9487.3 |
| | 4307 | -0.58 | 0.9 | 941.0 | 931.1 | 941.0 | 940.0 | 0.3 | 21118.3 |
| | 1 | 1.45 | 5.3 | 941.0 | 931.1 | 941.0 | 941.0 | 1.5 | 1.5 |
| 17 | 2083 | 0.16 | 27.0 | 939.0 | 928.3 | 939.0 | 939.0 | 7.5 | 10357.4 |
| | 4164 | -0.32 | 0.6 | 952.0 | 931.1 | 952.0 | 953.0 | 0.2 | 21167.4 |
| | 1 | 1.09 | 3.9 | 952.0 | 931.1 | 952.0 | 952.0 | 1.1 | 1.1 |
| 18 | 2030 | 0 | 0.0 | 956.0 | 928.2 | 956.0 | 956.0 | 0.0 | 9730.1 |
| | 4059 | -0.18 | 0.5 | 958.0 | 931.2 | 958.0 | 957.0 | 0.1 | 21112.2 |
| | 1 | 0.51 | 1.8 | 957.0 | 931.2 | 957.0 | 958.0 | 0.5 | 0.5 |
| 19 | 2110 | 0.29 | 16.5 | 948.0 | 927.8 | 948.0 | 948.0 | 4.6 | 10117.7 |
| | 4220 | 0.14 | 0.5 | 955.0 | 930.3 | 955.0 | 954.0 | 0.1 | 21130.1 |
| | 1 | 0.57 | 2.1 | 954.0 | 930.9 | 954.0 | 954.0 | 0.6 | 0.6 |
| 20 | 2402 | -0.99 | 15.3 | 951.0 | 927.7 | 951.0 | 951.0 | 4.2 | 10053.2 |
| | 4802 | -0.99 | 0.3 | 957.0 | 931.1 | 957.0 | 957.0 | 0.1 | 21048.7 |
| | 1 | 0.44 | 1.6 | 957.0 | 931.0 | 957.0 | 957.0 | 0.4 | 0.4 |
| 21 | 2131 | 0.34 | 32.4 | 963.0 | 935.5 | 963.0 | 963.0 | 9.0 | 10662.1 |
| | 4260 | -0.11 | 3.1 | 949.0 | 931.1 | 949.0 | 949.0 | 0.9 | 21066.9 |
| | 1 | 0.71 | 2.6 | 959.0 | 931.0 | 959.0 | 961.0 | 0.7 | 0.7 |
| 22 | 2068 | 0 | 30.0 | 969.0 | 939.8 | 969.0 | 969.0 | 8.3 | 10918.5 |
| | 4134 | -0.26 | 0.1 | 954.0 | 931.2 | 954.0 | 954.0 | 0.0 | 21127.0 |
| | 1 | 0.53 | 1.9 | 948.0 | 930.7 | 948.0 | 949.0 | 0.5 | 0.5 |
| 23 | 2042 | 1.45 | 5.3 | 949.0 | 927.8 | 949.0 | 949.0 | 1.5 | 10081.7 |
| | 4083 | -0.24 | 3.1 | 952.0 | 930.8 | 952.0 | 952.0 | 0.9 | 21145.2 |
| | 1 | 0.87 | 3.1 | 952.0 | 930.8 | 952.0 | 952.0 | 0.9 | 0.9 |
| 24 | 2225 | 0.52 | 16.8 | 949.0 | 932.6 | 949.0 | 949.0 | 4.7 | 9881.6 |
| | 4449 | 0 | 1.0 | 954.0 | 930.9 | 954.0 | 955.0 | 0.3 | 21075.9 |
| 25 | 1 | 0 | 0.0 | 954.0 | 930.9 | 954.0 | 954.0 | 0.0 | 0.0 |
| 25 | 2095 | 0.08 | 21.5 | 947.0 | 931.3 | 947.0 | 947.0 | 6.0 | 9812.3 |

Jenny Paola Garay-Montaño



Demanda energética del transporte urbano para la electromovilidad pública de la Amazonía ecuatoriana Urban transport energy demand for public electromobility in the Ecuadorian Amazon Rubén Darío Ledesma-Acosta Miguel Ángel Guilcamaigua-Tarco

| | | Aceleración | | | | | | | |
|--------|--------------|-------------|----------------|-----------------|----------------|----------|-----------------|--------|---------|
| Ensayo | Tiempo t [s] | a(t) | v(t) [km/h] | hGPS(t) [m] | hmap(t) [m] | h(t) [m] | hcorr(t) [m] | di [m] | dacum |
| | [-] | [m/s2] | [] | , [···] | [] | | [] | | [m] |
| | 4189 | -0.33 | 1.3 | 950.0 | 931.2 | 950.0 | 950.0 | 0.4 | 21047.9 |
| | 1 | 0.05 | 2.1 | 945.0 | 930.9 | 945.0 | 945.0 | 0.6 | 0.6 |
| 26 | 2164 | 0.08 | 47.2 | 951.0 | 931.0 | 951.0 | 951.0 | 13.1 | 9142.0 |
| | 4327 | -0.28 | 0.1 | 957.0 | 931.2 | 957.0 | 958.0 | 0.0 | 19676.8 |
| | 1 | 0.90 | 3.3 | 954.0 | 931.1 | 954.0 | 953.0 | 0.9 | 0.9 |
| 27 | 2135 | 0 | 0.0 | 948.0 | 930.7 | 948.0 | 953.4 | 0.0 | 8968.5 |
| | 4269 | 0.10 | 1.9 | 946.0 | 930.8 | 946.0 | 946.0 | 0.5 | 20606.8 |
| | 1 | 1.37 | 4.9 | 946.0 | 930.8 | 946.0 | 946.0 | 1.4 | 1.4 |
| 28 | 2133 | -0.75 | 10.2 | 950.0 | 932.5 | 950.0 | 950.0 | 2.8 | 9677.4 |
| | 4265 | -0.01 | 2.5 | 960.0 | 931.0 | 960.0 | 960.0 | 0.7 | 20843.8 |
| | 1 | 0.96 | 3.5 | 961.0 | 931.1 | 961.0 | 962.0 | 1.0 | 1.0 |
| 29 | 2230 | 0.01 | 25.4 | 954.0 | 927.8 | 954.0 | 954.0 | 7.1 | 10069.2 |
| | 4458 | 0.23 | 3.3 | 956.0 | 931.2 | 956.0 | 957.0 | 0.9 | 21051.9 |
| | 1 | 0.69 | 2.5 | 966.0 | 931.2 | 966.0 | 967.0 | 0.7 | 0.7 |
| 30 | 2380 | -0.90 | 25.9 | 952.0 | 927.8 | 952.0 | 952.0 | 7.2 | 10174.5 |
| | 4758 | -0.28 | 3.0 | 953.0 | 931.2 | 953.0 | 953.0 | 0.8 | 21047.4 |
| | 1 | 1.03 | 3.7 | 964.0 | 931.3 | 964.0 | 965.0 | 1.0 | 1.0 |
| 31 | 2345 | 0.52 | 17.4 | 959.0 | 942.1 | 959.0 | 959.0 | 4.8 | 10753.4 |
| | 4687 | -0.02 | 0.6 | 956.0 | 931.2 | 956.0 | 956.0 | 0.2 | 20907.0 |
| | 1 | 1.45 | 5.3 | 961.0 | 931.1 | 961.0 | 961.0 | 1.5 | 1.5 |
| 32 | 2294 | -0.51 | 24.2 | 959.0 | 929.4 | 959.0 | 959.0 | 6.7 | 10224.2 |
| | 4585 | 0.03 | 2.1 | 955.0 | 930.9 | 955.0 | 955.0 | 0.6 | 20743.6 |

Respecto a la corrección de los datos de altitud instantánea que recorrió el bus, se realizó a los valores de h(t) aplicando la Ecuación 2 y su resultado se presenta en la Tabla 4 como $h_{corr}(t)$.

En la determinación de la ganancia de altitud positiva acumulativa, se estableció una resolución espacial uniforme de 1 [m] con los valores de ruta discretos d y sus valores de altitud $h_{int}(d)$. Los valores obtenidos de la altitud de cada punto de ruta discreto d se realizó con los valores de la interpolación de la altitud instantánea medida en h_{corr} con la Ecuación 4. Los resultados se presentan en la siguiente tabla 3.

Tabla 3. Cálculo de la ganancia de la altitud positiva acumulativa.

| Ensayo | Hempo t | d | d0 | d1 | hcorr (0) | hcorr (1) | hint (d) | roadgrad e.1 (d) | hins,sm ,1 (d) | roadgrad e.2 (d) |
|---------|---------|-------------|-------------|-------------|--------------|--------------|-------------|---------------------|-------------------|---------------------|
| Lilouyo | [s] | [m] | [m] | [m] | [m] | [m] | [m] | [m] | [m] | [m/m] |
| | 1 | 0.5 | 0.0 | 2.5 | 950.0 | 950.0 | 950.0 | 0.055 | 950.1 | 0.055 |
| 1 | 2296 | 10997. 8 | 10987. 9 | 11007. 7 | 959.0 | 959.0 | 959.0 | -0.028 | 959.0 | -0.028 |
| | 4587 | 21086. 9 | 21085. 6 | 21087. 4 | 958.0 | 958.0 | 958.0 | 0.007 | 958.0 | 0.007 |
| | 1 | 1.0 | 0.0 | 2.7 | 958.0 | 958.0 | 958.0 | -0.005 | 958.0 | -0.010 |
| 2 | 2053 | 10444. 4 | 10441. 5 | 10449. 0 | 956.0 | 956.0 | 956.0 | 0.015 | 956.0 | 0.015 |
| | 4105 | 21065. 7 | 21064. 2 | 0.0 | 959.0 | 0.0 | 959.1 | 0.010 | 959.0 | 0.015 |
| | 1 | 0.4 | 0.0 | 2.1 | 959.0 | 959.0 | 959.0 | -0.040 | 959.0 | -0.040 |
| 3 | 2112 | 10998. 7 | 10989. 2 | 11008. 0 | 958.0 | 957.0 | 957.5 | -0.008 | 958.0 | -0.009 |
| | 4223 | 21141. 1 | 21140. 6 | 21141. 1 | 958.0 | 958.0 | 958.0 | -0.030 | 958.0 | -0.028 |
| | 1 | 1.5 | 0.0 | 4.3 | 957.0 | 957.0 | 957.0 | 0.020 | 957.0 | 0.017 |
| 4 | 2295 | 9848.5 | 9845.0 | 9851.9 | 957.0 | 957.0 | 957.0 | 0.006 | 956.5 | 0.007 |
| | 4588 | 21135. 2 | 21135. 1 | 21135. 2 | 951.0 | 951.0 | 951.0 | -0.035 | 951.0 | -0.038 |
| | 1 | 1.8 | 0.0 | 3.5 | 948.0 | 947.0 | 947.5 | 0.057 | 948.1 | 0.054 |
| 5 | 2310 | 10306. 0 | 10296. 0 | 10316. 6 | 960.0 | 960.0 | 960.0 | 0.025 | 960.0 | 0.026 |
| | 4617 | 21136. 0 | 21135. 7 | 21136. 0 | 967.0 | 966.0 | 966.0 | -0.005 | 967.0 | -0.002 |
| | 1 | 0.6 | 0.0 | 1.1 | 966.0 | 966.0 | 966.0 | -0.027 | 966.0 | -0.027 |
| 6 | 2207 | 11074. 1 | 11070. 7 | 11078. 0 | 967.0 | 967.0 | 967.0 | -0.028 | 967.0 | -0.028 |
| | 4412 | 21124. 8 | 21124. 5 | 21124. 8 | 953.0 | 954.0 | 954.0 | -0.005 | 953.0 | -0.005 |
| | 1 | 1.3 | 0.0 | 3.5 | 954.0 | 954.0 | 954.0 | 0.020 | 954.0 | 0.020 |
| 7 | 2281 | 10449. 4 | 10440. 9 | 10458. 0 | 956.0 | 957.0 | 956.5 | 0.021 | 956.0 | 0.020 |
| | 4561 | 21110. 8 | 21110. 8 | 21110. 8 | 951.0 | 951.0 | 951.0 | 0.013 | 950.5 | 0.010 |



| Ensayo | Tiempo t | d | d0 | d1 | hcorr (0) | hcorr (1) | hint (d) | roadgrad e.1 (d) | hins,sm ,1 (d) | roadgrad e.2 (d) |
|---------|----------|-------------|-------------|-------------|--------------|--------------|-------------|---------------------|-------------------|---------------------|
| Lilouyo | [s] | [m] | [m] | [m] | [m] | [m] | [m] | [m] | [m] | [m/m] |
| | 1 | 1.1 | 0.0 | 3.0 | 967.0 | 965.0 | 966.2 | -0.057 | 966.9 | -0.057 |
| 8 | 2316 | 10421. 8 | 10406. 6 | 10437. 8 | 953.0 | 953.0 | 953.0 | 0.017 | 953.0 | 0.019 |
| | 4630 | 21070. 2 | 21069. 1 | 21070. 2 | 957.0 | 957.0 | 957.0 | 0.005 | 957.0 | 0.005 |
| | 1 | 1.0 | 0.0 | 2.3 | 957.0 | 957.0 | 957.0 | -0.077 | 956.9 | -0.077 |
| 9 | 2316 | 10753. 7 | 10741. 3 | 10764. 5 | 964.0 | 964.0 | 964.0 | 0.010 | 964.0 | 0.011 |
| | 4378 | 21064. 6 | 21064. 6 | 21064. 6 | 956.0 | 955.0 | 955.0 | -0.043 | 957.0 | -0.030 |
| | 1 | 1.0 | 0.0 | 2.2 | 955.0 | 956.0 | 955.4 | -0.017 | 955.0 | -0.015 |
| 10 | 2142 | 9826.0 | 9820.9 | 9830.9 | 952.0 | 952.0 | 952.0 | -0.011 | 952.0 | -0.010 |
| .0 | 4282 | 21073. 1 | 21073. 1 | 21073. 1 | 949.0 | 949.0 | 949.0 | -0.015 | 949.3 | -0.013 |
| | 1 | 1.1 | 0.0 | 2.4 | 949.0 | 949.0 | 949.0 | -0.005 | 949.0 | -0.002 |
| 11 | 2270 | 10049. 9 | 10043. 9 | 10055. 8 | 951.0 | 951.0 | 951.0 | 0.014 | 951.5 | 0.015 |
| | 4538 | 21155. 8 | 21155. 0 | 21155. 8 | 950.0 | 950.0 | 950.0 | -0.015 | 950.0 | -0.017 |
| | 1 | 1.2 | 0.0 | 2.5 | 950.0 | 950.0 | 950.0 | 0.028 | 950.0 | 0.028 |
| 12 | 2379 | 11025. 3 | 11016. 5 | 11034. 2 | 957.0 | 957.0 | 957.0 | -0.021 | 956.5 | -0.021 |
| | 4556 | 21073. 5 | 21072. 8 | 21073. 5 | 949.0 | 948.0 | 948.0 | -0.010 | 949.0 | -0.010 |
| | 1 | 0.9 | 0.0 | 1.7 | 947.0 | 948.0 | 947.5 | -0.010 | 947.0 | -0.007 |
| 13 | 2223 | 9871.8 | 9868.9 | 9874.7 | 959.0 | 958.0 | 958.5 | -0.001 | 958.0 | 0.000 |
| .0 | 4443 | 21160. 2 | 21160. 2 | 21160. 2 | 945.0 | 945.0 | 945.0 | -0.007 | 945.0 | -0.010 |
| | 1 | 0.9 | 0.0 | 3.0 | 945.0 | 946.0 | 945.3 | 0.042 | 945.0 | 0.042 |
| 14 | 2145 | 10860. 4 | 10855. 9 | 10864. 7 | 960.0 | 960.0 | 960.0 | -0.003 | 959.0 | 0.000 |
| | 4288 | 21080. 1 | 21080. 0 | 21080. 1 | 947.0 | 947.0 | 947.0 | -0.030 | 947.0 | -0.030 |
| 4-5 | 1 | 0.9 | 0.0 | 2.0 | 949.0 | 949.0 | 949.0 | 0.055 | 949.1 | 0.055 |
| 15 | 2135 | 9500.3 | 9498.5 | 9501.7 | 955.0 | 954.0 | 954.5 | 0.015 | 954.5 | 0.016 |



| Encavo | Tiempo t | d | d0 | d1 | hcorr (0) | hcorr (1) | hint (d) | roadgrad e.1 (d) | hins,sm ,1 (d) | roadgrad e.2 (d) |
|--------|----------|-------------|-------------|-------------|--------------|--------------|-------------|---------------------|-------------------|---------------------|
| Ensayo | [s] | [m] | [m] | [m] | [m] | [m] | [m] | [m] | [m] | [m/m] |
| | 4269 | 21106. 0 | 21105. 8 | 21106. 0 | 957.0 | 956.0 | 956.0 | -0.035 | 957.6 | -0.027 |
| | 1 | 0.9 | 0.0 | 1.6 | 956.0 | 955.0 | 955.4 | -0.010 | 956.0 | -0.007 |
| 16 | 2155 | 9487.3 | 9487.3 | 9487.3 | 955.0 | 955.0 | 955.0 | 0.004 | 956.0 | 0.004 |
| | 4307 | 21118. 3 | 21118. 0 | 21118. 3 | 940.0 | 941.0 | 941.0 | 0.000 | 940.0 | 0.000 |
| | 1 | 1.5 | 0.0 | 3.1 | 941.0 | 940.0 | 940.5 | 0.045 | 941.0 | 0.045 |
| 17 | 2083 | 10357. 4 | 10349. 9 | 10365. 1 | 939.0 | 938.0 | 938.5 | -0.001 | 939.0 | -0.001 |
| | 4164 | 21167. 4 | 21167. 3 | 21167. 4 | 952.0 | 952.0 | 952.0 | 0.015 | 952.0 | 0.010 |
| | 1 | 1.1 | 0.0 | 2.3 | 952.0 | 952.0 | 952.0 | 0.010 | 952.0 | 0.010 |
| 18 | 2030 | 9730.1 | 9730.1 | 9730.1 | 956.0 | 956.0 | 956.0 | 0.013 | 957.0 | 0.012 |
| | 4059 | 21112. 2 | 21112. 1 | 21112. 2 | 957.0 | 958.0 | 958.0 | -0.012 | 957.0 | -0.017 |
| | 1 | 0.5 | 0.0 | 1.9 | 958.0 | 957.0 | 957.7 | 0.000 | 958.0 | 0.000 |
| 19 | 2110 | 10117. 7 | 10113. 2 | 10122. 8 | 948.0 | 948.0 | 948.0 | -0.013 | 947.5 | -0.011 |
| | 4220 | 21130. 1 | 21130. 0 | 0.0 | 954.0 | 0.0 | 954.0 | -0.035 | 954.5 | -0.033 |
| | 1 | 0.6 | 0.0 | 2.1 | 954.0 | 955.0 | 954.3 | -0.002 | 954.0 | -0.005 |
| 20 | 2402 | 10053. 2 | 10048. 9 | 10056. 1 | 951.0 | 951.0 | 951.0 | -0.015 | 951.0 | -0.015 |
| | 4802 | 21048. 7 | 21048. 6 | 21048. 7 | 956.0 | 957.0 | 957.0 | -0.023 | 956.0 | -0.030 |
| | 1 | 0.4 | 0.0 | 0.7 | 957.0 | 957.0 | 957.0 | 0.015 | 957.0 | 0.015 |
| 21 | 2131 | 10662. 1 | 10653. 1 | 10671. 3 | 963.0 | 963.0 | 963.0 | 0.005 | 963.0 | 0.005 |
| | 4260 | 21066. 9 | 21066. 1 | 21066. 9 | 949.0 | 949.0 | 949.0 | 0.002 | 949.0 | 0.000 |
| | 1 | 0.7 | 0.0 | 2.0 | 961.0 | 959.0 | 960.3 | 0.005 | 961.0 | 0.008 |
| 22 | 2068 | 10918. 5 | 10910. 2 | 10928. 1 | 969.0 | 969.0 | 969.0 | -0.007 | 969.0 | -0.005 |
| | 4134 | 21127. 0 | 21127. 0 | 21127. 0 | 955.0 | 954.0 | 954.0 | -0.030 | 956.0 | -0.020 |



| | Tiempo t | d | d0 | d1 | hcorr (0) | hcorr (1) | hint (d) | roadgrad e.1 (d) | hins,sm ,1 (d) | roadgrad e.2 (d) |
|--------|----------|-------------|-------------|-------------|--------------|--------------|-------------|---------------------|-------------------|---------------------|
| Ensayo | [s] | [m] | [m] | [m] | [m] | [m] | [m] | [m] | [m] | [m/m] |
| | 1 | 0.5 | 0.0 | 2.6 | 949.0 | 948.0 | 948.8 | 0.018 | 949.0 | 0.022 |
| 23 | 2042 | 10081. 7 | 10080. 2 | 10083. 5 | 950.0 | 949.0 | 949.6 | -0.010 | 950.0 | -0.011 |
| | 4083 | 21145. 2 | 21144. 3 | 0.0 | 952.0 | 0.0 | 952.0 | -0.020 | 952.0 | -0.020 |
| | 1 | 0.9 | 0.0 | 2.0 | 952.0 | 952.0 | 952.0 | 0.007 | 952.0 | 0.005 |
| 24 | 2225 | 9881.6 | 9877.0 | 9886.1 | 948.0 | 949.0 | 948.5 | 800.0 | 948.5 | 0.009 |
| 24 | 4449 | 21075. 9 | 21075. 7 | 21075. 9 | 955.0 | 954.0 | 954.0 | -0.002 | 955.0 | 0.000 |
| | 1 | 0.0 | 0.0 | 0.7 | 954.0 | 954.0 | 954.0 | 0.025 | 954.0 | 0.025 |
| 25 | 2095 | 9812.3 | 9806.3 | 9818.2 | 947.0 | 948.0 | 947.5 | 0.020 | 947.0 | 0.022 |
| 20 | 4189 | 21047. 9 | 21047. 5 | 21047. 9 | 951.0 | 950.0 | 950.0 | -0.033 | 951.0 | -0.027 |
| | 1 | 0.6 | 0.0 | 1.2 | 945.0 | 945.0 | 945.0 | 0.037 | 945.0 | 0.035 |
| 26 | 2164 | 9142.0 | 9128.9 | 9155.1 | 947.3 | 950.0 | 948.7 | 0.010 | 947.6 | 0.009 |
| 20 | 4327 | 19676. 8 | 19676. 7 | 19676. 8 | 958.0 | 957.0 | 957.0 | 0.035 | 958.0 | 0.040 |
| | 1 | 0.9 | 0.0 | 2.2 | 953.0 | 954.0 | 953.4 | 0.002 | 953.0 | 0.003 |
| 27 | 2135 | 8968.5 | 8968.5 | 8968.5 | 953.4 | 948.0 | 953.4 | -0.012 | 953.4 | -0.010 |
| | 4269 | 20606. 8 | 20606. 3 | 20606. 8 | 946.0 | 946.0 | 946.0 | 0.003 | 945.6 | -0.002 |
| | 1 | 1.4 | 0.0 | 3.9 | 946.0 | 946.0 | 946.0 | -0.022 | 946.0 | -0.022 |
| 28 | 2133 | 9677.4 | 9674.6 | 9680.3 | 950.0 | 951.0 | 950.5 | 0.010 | 950.0 | 0.010 |
| 20 | 4265 | 20843. 8 | 20843. 1 | 20843. 8 | 960.0 | 960.0 | 960.0 | 0.027 | 960.0 | 0.030 |
| | 1 | 1.0 | 0.0 | 2.4 | 962.0 | 961.0 | 961.6 | -0.022 | 962.0 | -0.022 |
| 29 | 2230 | 10069. 2 | 10062. 2 | 10076. 5 | 954.0 | 954.0 | 954.0 | 0.001 | 954.0 | 0.002 |
| | 4458 | 21051. 9 | 21051. 0 | 21051. 9 | 957.0 | 956.0 | 956.0 | 0.028 | 957.0 | 0.030 |
| | 1 | 0.7 | 0.0 | 2.0 | 967.0 | 966.0 | 966.6 | -0.027 | 967.0 | -0.027 |
| 30 | 2380 | 10174. 5 | 10167. 3 | 10180. 5 | 952.0 | 951.0 | 951.9 | 0.004 | 952.5 | 0.004 |
| | 4758 | 21047. 4 | 21046. 6 | 21047. 4 | 953.0 | 953.0 | 953.0 | 0.015 | 952.0 | 0.008 |



Miguel Ángel Guilcamaigua-Tarco
Jenny Paola Garay-Montaño

| Ensayo | Tiempo t | d | d0 | d1 | hcorr (0) | hcorr (1) | hint (d) | roadgrad e.1 (d) | hins,sm ,1 (d) | roadgrad e.2 (d) |
|--------|----------|-------------|-------------|-------------|--------------|--------------|-------------|---------------------|-------------------|---------------------|
| · | [s] | [m] | [m] | [m] | [m] | [m] | [m] | [m] | [m] | [m/m] |
| | 1 | 1.0 | 0.0 | 2.7 | 965.0 | 963.0 | 964.2 | -0.017 | 965.0 | -0.017 |
| 31 | 2345 | 10753. 4 | 10748. 6 | 10757. 8 | 959.0 | 959.0 | 959.0 | 0.003 | 959.0 | 0.002 |
| | 4687 | 20907. 0 | 20906. 8 | 20907. 0 | 956.0 | 956.0 | 956.0 | 0.010 | 956.0 | 0.013 |
| | 1 | 1.5 | 0.0 | 2.9 | 961.0 | 961.0 | 961.0 | -0.010 | 961.0 | -0.010 |
| 32 | 2294 | 10224. 2 | 10217. 4 | 10230. 6 | 959.0 | 959.0 | 959.0 | 0.010 | 959.5 | 0.009 |
| | 4585 | 20743. 6 | 20743. 0 | 20743. 6 | 955.0 | 955.0 | 955.0 | 0.007 | 955.0 | 0.010 |

En la aplicación de las dos rondas para el suavizado de cada punto de la ruta discreto d, se consideró a $d_a=0$ como punto de ruta inicial y a $d_c=1$ al valor de distancia última del recorrido para cada ensayo, es decir, en los 32 ensayos se usó el valor de distancia útil último que registró el GPS. Los resultados de las ecuaciones 5 y 6 se presentan en la Tabla 5 mediante roadgrade.1 (d) [m] y roadgrade.2 (d) [m/m] respectivamente.

El resultado final de la ganancia de altitud positiva acumulativa de la Ruta 3, se determinó integrando todas las pendientes positivas interpoladas y suavizadas que corresponden a los valores de roadgrade.2 (d). La altitud positiva acumulativa de los días 1, 2 y 3 corresponden a 297.97 [m], 293.83 [m] y 272.40 [m] respectivamente.

Determinación del ciclo típico y demanda energética del bus

La demanda energética necesaria para la Ruta 3 que exige el bus en función al ciclo de conducción fue analizado en los 32 ensayos. El análisis determinó la demanda energética [Kwh] y los porcentajes [%] de energía de: Resistencia a la rodadura [E.Rx], Fuerza de arrastre [E.Fd], Resistencia debido a la pendiente [E.Rg], Resistencia debido a la inercia [E.Rt] y Energía ganadas [E+], en las cuales, las diferencias mínimas relativas (DMR) observadas mediante la matriz ortogonal, presentó el valor mínimo al ensayo 26 como se presenta en la siguiente tabla 4.



Tabla 4. Consumo energético en función al ciclo típico en [kwh] y [%].

| - | | ГРу | E D. | ГРα | | E Ed | E Dv | E D. | E Da | Ε. | |
|--------|-------|-------|------------------|--------|--------|-------|--------|------------------|--------|--------|-------|
| ENSAYO | E.Fd | E.Rx | E.R _l | E.Rg | E+ | E.Fd | E.Rx | E.R _l | E.Rg | E+ | DMR |
| | [Kwh] | [Kwh] | [Kwh] | [Kwh] | [Kwh] | [%] | [%] | [%] | [%] | [kwh] | |
| 1 | 0.469 | 3.519 | 2.858 | 10.223 | 17.068 | 2.746 | 20.616 | 16.745 | 59.894 | 17.068 | 5.485 |
| 2 | 0.883 | 3.562 | 2.459 | 22.666 | 29.571 | 2.988 | 12.045 | 8.316 | 76.652 | 29.571 | 8.275 |
| 3 | 0.694 | 3.587 | 2.574 | 14.736 | 21.591 | 3.213 | 16.612 | 11.923 | 68.251 | 21.591 | 1.424 |
| 4 | 0.500 | 3.488 | 3.100 | 10.454 | 17.542 | 2.848 | 19.885 | 17.673 | 59.594 | 17.542 | 5.680 |
| 5 | 0.533 | 3.527 | 3.078 | 13.005 | 20.143 | 2.648 | 17.508 | 15.283 | 64.561 | 20.143 | 1.652 |
| 6 | 0.596 | 3.443 | 2.914 | 14.071 | 21.024 | 2.834 | 16.377 | 13.863 | 66.926 | 21.024 | 0.443 |
| 7 | 0.555 | 3.442 | 2.817 | 13.622 | 20.436 | 2.718 | 16.841 | 13.785 | 66.655 | 20.436 | 0.176 |
| 8 | 0.543 | 3.301 | 2.540 | 11.636 | 18.020 | 3.016 | 18.321 | 14.093 | 64.570 | 18.020 | 1.623 |
| 9 | 0.709 | 3.391 | 3.524 | 15.797 | 23.421 | 3.027 | 14.480 | 15.045 | 67.448 | 23.421 | 1.275 |
| 10 | 0.684 | 3.421 | 2.805 | 14.772 | 21.682 | 3.157 | 15.777 | 12.936 | 68.130 | 21.682 | 1.349 |
| 11 | 0.593 | 3.346 | 2.650 | 15.202 | 21.790 | 2.720 | 15.354 | 12.160 | 69.767 | 21.790 | 2.613 |
| 12 | 0.586 | 3.366 | 2.878 | 13.424 | 20.253 | 2.892 | 16.618 | 14.209 | 66.282 | 20.253 | 0.387 |
| 13 | 0.543 | 3.445 | 3.174 | 12.739 | 19.901 | 2.727 | 17.311 | 15.951 | 64.012 | 19.901 | 2.072 |
| 14 | 0.537 | 3.348 | 3.043 | 12.860 | 19.789 | 2.716 | 16.920 | 15.380 | 64.984 | 19.789 | 1.361 |
| 15 | 0.526 | 3.384 | 3.290 | 9.992 | 17.192 | 3.062 | 19.683 | 19.135 | 58.120 | 17.192 | 6.825 |
| 16 | 0.621 | 3.390 | 2.221 | 13.918 | 20.150 | 3.083 | 16.822 | 11.025 | 69.070 | 20.150 | 2.049 |
| 17 | 0.697 | 3.530 | 2.885 | 13.078 | 20.190 | 3.451 | 17.485 | 14.289 | 64.776 | 20.190 | 1.381 |
| 18 | 0.716 | 3.472 | 2.925 | 14.915 | 22.029 | 3.251 | 15.763 | 13.279 | 67.707 | 22.029 | 1.027 |
| 19 | 0.649 | 3.391 | 2.479 | 13.315 | 19.834 | 3.273 | 17.097 | 12.498 | 67.132 | 19.834 | 0.520 |
| 20 | 0.486 | 3.395 | 2.967 | 10.468 | 17.316 | 2.805 | 19.608 | 17.135 | 60.452 | 17.316 | 4.991 |
| 21 | 0.553 | 3.357 | 2.335 | 14.872 | 21.117 | 2.618 | 15.896 | 11.059 | 70.427 | 21.117 | 3.109 |
| 22 | 0.834 | 3.349 | 2.498 | 17.781 | 24.462 | 3.409 | 13.692 | 10.212 | 72.687 | 24.462 | 5.111 |
| 23 | 0.681 | 3.295 | 2.510 | 15.920 | 22.406 | 3.039 | 14.705 | 11.202 | 71.054 | 22.406 | 3.708 |
| 24 | 0.587 | 3.401 | 2.874 | 15.588 | 22.450 | 2.616 | 15.148 | 12.802 | 69.434 | 22.450 | 2.344 |
| 25 | 0.667 | 3.357 | 2.969 | 14.777 | 21.770 | 3.065 | 15.422 | 13.637 | 67.877 | 21.770 | 1.212 |
| 26 | 0.570 | 3.543 | 2.733 | 13.537 | 20.382 | 2.796 | 17.383 | 13.408 | 66.413 | 20.382 | 0.143 |
| 27 | 0.608 | 3.552 | 1.732 | 13.055 | 18.947 | 3.207 | 18.748 | 9.142 | 68.903 | 18.947 | 2.410 |
| 28 | 0.554 | 3.627 | 2.348 | 11.984 | 18.512 | 2.991 | 19.593 | 12.684 | 64.732 | 18.512 | 1.732 |
| 29 | 0.463 | 3.334 | 2.577 | 10.662 | 17.037 | 2.720 | 19.572 | 15.127 | 62.581 | 17.037 | 3.301 |
| 30 | 0.557 | 3.633 | 1.727 | 13.842 | 19.759 | 2.818 | 18.388 | 8.742 | 70.053 | 19.759 | 3.161 |



Rubén Darío Ledesma-Acosta Miguel Ángel Guilcamaigua-Tarco Jenny Paola Garay-Montaño

| ENSAYO | E.Fd | E.Rx | E.R _l | E.Rg | E+ | E.Fd | E.Rx | E.R <i>ı</i> | E.Rg | E+ | DMR |
|---------|-----------|-------|------------------|--------|--------|-------|--------|--------------|--------|--------|-------|
| ENSATO | [Kwh] | [Kwh] | [Kwh] | [Kwh] | [Kwh] | [%] | [%] | [%] | [%] | [kwh] | DIVIK |
| 31 | 0.391 | 3.342 | 2.255 | 11.771 | 17.759 | 2.204 | 18.817 | 12.695 | 66.284 | 17.759 | 0.582 |
| 32 | 0.355 | 3.337 | 2.111 | 10.535 | 16.337 | 2.171 | 20.425 | 12.920 | 64.484 | 16.337 | 2.026 |
| PROMED | IO | | | | 20.308 | | | | | | |
| DESVIAS | | 2.632 | | | | | | | | | |
| INTERVA | AL (0.05) | 0.912 | | | | | | | | | |

Conocido el ciclo típico del bus analizado, se desarrolló la gráfica de velocidad en relación con el tiempo, en la misma que, se presenta una velocidad máxima de 59.76 [km/h].

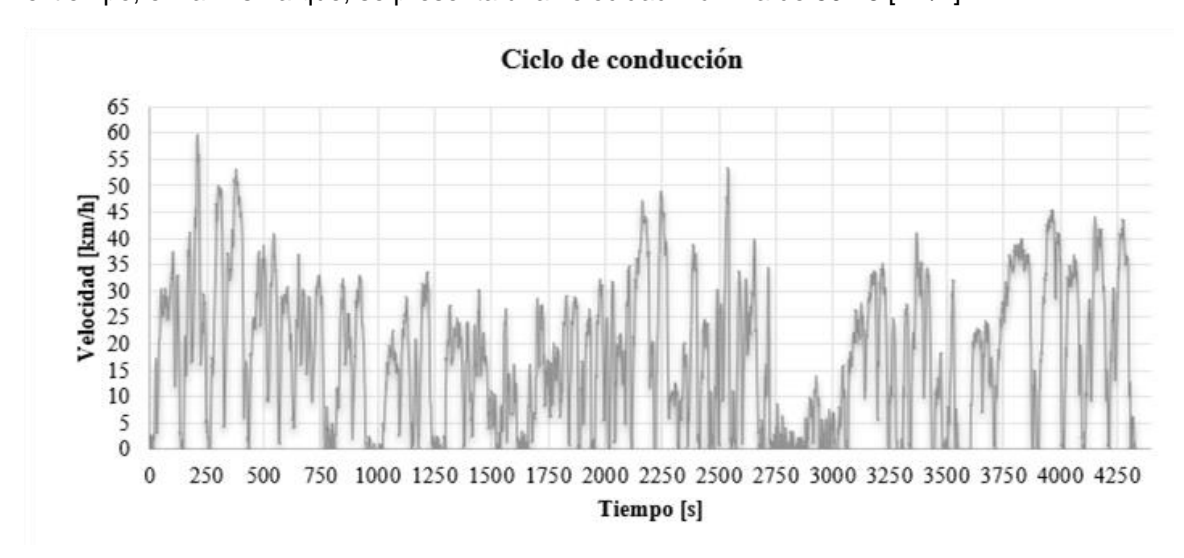


Figura 1
Gráfica del ciclo típico de la Ruta 3

En la Tabla 5 se presenta los parámetros característicos del ciclo de conducción y la demanda energética.

Tabla 5. Parámetros característicos del ciclo de conducción de la Ruta 3.

| PARÁMETRO | VALOR | UNIDAD |
|---------------------|-------|--------|
| Duración | 4328 | [s] |
| Distancia | 21.21 | [km] |
| Velocidad promedio | 17.64 | [km/h] |
| Velocidad máxima | 59.76 | [km/h] |
| Detenido | 10.95 | [%] |
| Velocidad constante | 6.88 | [%] |
| Aceleración | 43.29 | [%] |



Demanda energética del transporte urbano para la electromovilidad pública de la Amazonía ecuatoriana Urban transport energy demand for public electromobility in the Ecuadorian Amazon Rubén Darío Ledesma-Acosta Miguel Ángel Guilcamaigua-Tarco Jenny Paola Garay-Montaño

| PARÁMETRO | VALOR | UNIDAD |
|---|-------|---------------------|
| Desaceleración | 38.88 | [%] |
| Aceleración positiva promedio | 0.42 | [m/s ²] |
| Aceleración máxima | 3.60 | [m/s ²] |
| Aceleración negativa promedio | -0.45 | [m/s ²] |
| Aceleración mínima | -5.24 | [m/s ²] |
| Aceleración por velocidad positiva promedio | 0.15 | $[m^2/s^3]$ |
| Aceleración por velocidad negativa promedio | 24.97 | $[m^2/s^3]$ |
| Demanda energética positiva | 20.38 | [kWh] |
| Rendimiento | 1.04 | [km/kWh] |
| %Regeneración | 49.40 | [%] |

El ciclo típico de la Ruta 3, se transita en una pendiente máxima de 942.4 [m] y a una altura mínima de 910.3 [m]. El perfil de las pendientes fue determinante para el consumo energético.

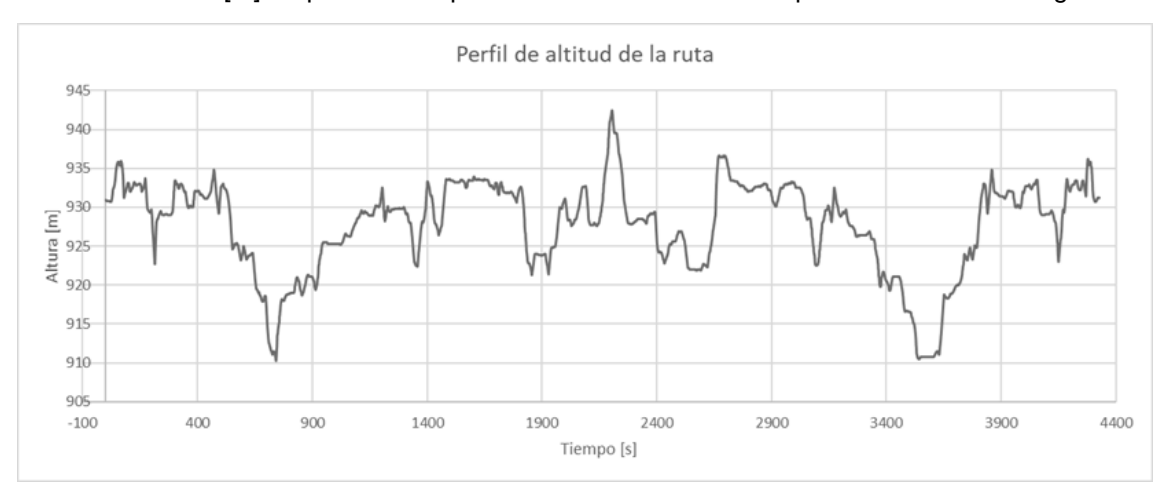


Figura 2

Perfil topográfico del ciclo de conducción de la Ruta 3.

Para calcular el consumo energético diario, es imperativo tener en cuenta la demanda energética del ciclo típico multiplicada por el número diario de recorridos realizados por el bus, que, en este caso, es 11 viajes diarios multiplicado por la demanda energética de 20.38 [kwh], da un consumo de 224.18 [kwh].



Revista Multidisciplinaria Perspectivas Investigativas Multidisciplinary Journal Investigative Perspectives Vol. 4(Especial), 184-206, 2024

Jenny Paola Garay-Montaño

Demanda energética del transporte urbano para la electromovilidad pública de la Amazonía ecuatoriana Urban transport energy demand for public electromobility in the Ecuadorian Amazon Rubén Darío Ledesma-Acosta Miguel Ángel Guilcamaigua-Tarco

DISCUSIÓN

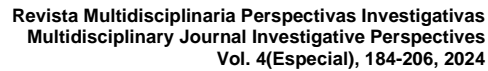
La información obtenida de los ciclos de conducción en condiciones reales es esencial para informar decisiones estratégicas relacionadas con la movilidad, el transporte y la gestión ambiental. Como señala (Leguísamo et al. 2020), entender el comportamiento de los vehículos en situaciones reales proporciona una base sólida para abordar estos temas de manera efectiva. En el contexto del servicio urbano de transporte público, es crucial reconocer que los diferentes comportamientos de conducción surgen tanto de las características de la ruta como del uso variado por parte de los usuarios, como destaca (Jiménez-Alonso et al. 2013). La asignación de ciclos típicos de conducción, como resultado de estudios estandarizados, a menudo basados en similitudes en la línea de ruta o sus características, presenta desafíos en la selección adecuada de vehículos y en la evaluación precisa del consumo de energía, como se observa en la investigación.

Esto resalta la necesidad de adaptar los vehículos a las condiciones específicas de la ciudad y las rutas, así como de comprender mejor el consumo de energía asociado con el uso de combustible diésel. Además, según el Ministerio de Energía y Minas del Ecuador (2021), el transporte urbano representa una parte significativa del consumo total de energía en el país, con un 10.6% de este consumo. En este contexto, la importancia de establecer ciclos típicos de conducción adecuados se evidencia aún más, ya que estos pueden ser fundamentales para la reorganización de la flota de vehículos existente o para la incorporación de nuevas unidades. Esto, a su vez, puede contribuir significativamente a la reducción del consumo de energía y de las emisiones atmosféricas, aspectos cruciales en términos de sostenibilidad ambiental en el transporte urbano.

La demanda de energía del ciclo típico obtenido se relaciona con la energía positiva calculada necesaria para que el vehículo complete la ruta. Esta demanda energética se atribuye a la resistencia al avance en la carretera, que varía según el peso del vehículo debido a los pasajeros, la resistencia aerodinámica del autobús y la resistencia de rodadura de los neumáticos. Por ejemplo, al considerar el recorrido de la Ruta 3, se determina que el consumo energético diario sería de 192.5 [kWh] con el autobús vacío y 260.92 [kWh] con el autobús lleno de 55 pasajeros. Estos hallazgos son consistentes con estudios previos, como el realizado por (Zumba, 2018) en la Línea 5, donde se encontraron valores similares para una ruta de 28 [km], con una velocidad máxima de 55.28 [km/h] y seis viajes diarios.

En el proceso de selección de un autobús eléctrico adecuado, es crucial considerar el parámetro crítico del autobús lleno, que incluye el número de pasajeros, la masa y los consumos específicos. Tras aplicar un incremento del 10 [%], el consumo energético total se estima en 287.01 [kWh]. Basándonos en estos criterios, el autobús que mejor se adapta a las exigencias de la Ruta 3 es el BYD KG-9 (establecido en el mercado ecuatoriano), que tiene una capacidad energética de 324 [kWh]. Este modelo específico no solo presenta una autonomía adecuada, sino que también cuenta con la capacidad energética suficiente para cubrir la demanda diaria calculada. Es importante destacar que este tipo de autobuses eléctricos suelen ser más eficientes en comparación con los de combustión interna, ya que pueden recorrer distancias más largas con un menor consumo energético. Por lo tanto, es esencial realizar un estudio detallado de las necesidades energéticas para cada ruta que se quiera implementar el recorrido de un autobús eléctrico, considerando factores como la pendiente del terreno, que influyen significativamente en el modelo y las capacidades.

Sin embargo, el camino hacia la plena adopción de vehículos de propulsión eléctrica en el transporte público sigue siendo gradual y sujeto a diversos desafíos con objetivos iniciales del 35 % y 85 % respectivamente a partir de 2025. Este enfoque conservador y de máximo esfuerzo refleja la complejidad y las implicaciones a largo plazo de la transición hacia la electromovilidad en el transporte público ecuatoriano. La discusión sobre este tema es fundamental para orientar políticas y estrategias efectivas que impulsen el desarrollo sostenible y la reducción de emisiones en el sector del transporte de la ciudad de Puyo.



Jenny Paola Garay-Montaño



Demanda energética del transporte urbano para la electromovilidad pública de la Amazonía ecuatoriana Urban transport energy demand for public electromobility in the Ecuadorian Amazon Rubén Darío Ledesma-Acosta Miguel Ángel Guilcamaigua-Tarco

CONCLUSIONES

Considerar la acumulación de la pendiente positiva del recorrido del bus, es fundamental para establecer las energías que se manifiestan en el recorrido de la Ruta 3. Estas fuerzas varían en función a la pendiente, condiciones ambientales y sobre todo a la resistencia a la rodadura. También, se considera para diseñar rutas y el torque que debe tener el bus cuando este se encuentre lleno de usuarios.

El ciclo típico de la Ruta 3, determina la importancia de selección los buses debido a la eficiencia energética y a la adaptación de la ruta respectos a las condiciones topográficas, es decir, un bus que esté considerado para el servicio de trasporte de la Ruta 3, puede estar fuera del consumo de energía necesario.

En los escenarios analizados de demanda energética con carga de pasajeros vacío y lleno, la demanda energética en la Ruta 3, presenta variaciones entre 193,6 kWh y 260,92 kWh de consumo diario. Este rango se observa en pendientes inferiores al 6%, según los datos registrados para el presente análisis.

FINANCIAMIENTO

No monetario

CONFLICTO DE INTERÉS

No existe conflicto de interés con personas o instituciones ligadas a la investigación.

AGRADECIMIENTOS

Universidad Estatal Amazónica, Puyo, Pastaza, Ecuador.

REFERENCIAS

- Astudillo, R. (2016). Obtención de ciclos típicos de conducción para la flota de buses urbanos del cantón Cuenca [Obtaining typical driving cycles for the urban bus fleet in the canton of Cuenca]. [Tesis de Magister, Universidad del Azuay]. Repositorio institucional. https://dspace.uazuay.edu.ec/bitstream/datos/6145/1/12407.pdf
- Diario Oficial de la Unión Europea. (2017). Reglamento (UE) 2017/1151 de la Comisión de 1 de Junio de 2017. DOUE-L-2017-81343. https://data.europa.eu/eli/reg/2017/1151/spa
- Guevarra, J. (2019). Plan de Desarrollo y Ordenamiento Territorial de la provincia de Pastaza al año 2025 [Development and Land Management Plan for the province of Pastaza to the year 2025]. https://pastaza.gob.ec/planificacion/pdot_pastaza_2019.pdf
- Jiménez-Alonso, Felipe, Román de Andrés, Alfonso & López Martínez, José María. (2013). Determinación de ciclos de conducción en rutas urbanas fijas [Determination of driving cycles on fixed urban routes]. Dyna Ingeniería e Industria, 88(6), 681-688.
- Leguísamo, Julio C., Llanes-Cedeño, Edilberto A., Celi-Ortega, Santiago F., & Rocha-Hoyos, Juan C.. (2020). Evaluación de la conducción eficiente en un motor de encendido provocado, a 2810 msnm [Efficient driving evaluation an ignition engine at 2810 meters above sea level]. *Información tecnológica*, 31(1), 227-236. https://dx.doi.org/10.4067/S0718-07642020000100227
- Ley Orgánica de Eficiencia Energética [LOEE],2019. Suplemento Registro Oficial Nº 449. https://www.registroficial.gob.ec/index.php/registro-oficial-web/publicaciones/suplementos/item/11451-suplemento-al-registro-oficial-no-449
- Ministerio de Energía y Minas (2021). Balance Energético Nacional 2021. https://www.recursosyenergia.gob.ec/wp-content/uploads/2022/08/Balance_Energe%CC%81tico_Nacional_2021-VF_opt.pdf



Revista Multidisciplinaria Perspectivas Investigativas Multidisciplinary Journal Investigative Perspectives Vol. 4(Especial), 184-206, 2024

Demanda energética del transporte urbano para la electromovilidad pública de la Amazonía ecuatoriana
Urban transport energy demand for public electromobility in the Ecuadorian Amazon
Rubén Darío Ledesma-Acosta

Miguel Ángel Guilcamaigua-Tarco Jenny Paola Garay-Montaño

- Pintos Gómez de las Heras, Borja (2011). Desarrollo de una metodología para generación de ciclos de conducción representativos del tráfico real urbano. Aplicación para medida de emisiones en banco de rodillos [Development of a methodology for generating typical driving cycles representative of real urban traffic. Application for emission measurement in roller banks.]. Proyecto Fin de Carrera / Trabajo Fin de Grado. https://oa.upm.es/9437/
- Restrepo V., A. H., Carranza S., Y. A., & Tibaquira G., J. E. (2007). Diseño Y Aplicación De Una Metodología Para Determinar Ciclos De Conducción Vehicular En La Ciudad De Pereira [Design and application of a methodology to determine vehicle driving cycles in the city of Pereira]. *Scientia Et Technica*, 1(37).
- Urgilés-Amoroso, P. J., & Urgilés-Verdugo, S. I. (2021). Aplicación del método de diferencias mínimas ponderadas para la obtención de un ciclo de conducción en una ruta urbana de un autobús. Caso de estudio: Azogues, Ecuador [Application of the weighted minimum difference method to obtain a driving cycle on an urban bus route. Case study: Azogues, Ecuador]. INCITEC (REVISTA INNOVACIÓN, CIENCIA Y TECNOLOGÍA), 1(2), 48–52. https://doi.org/10.53632/incitec.v1i2.101
- Zumba, W. (2018). Evaluación de la demanda energética de buses con motores de combustión interna, reales; para implementar buses eléctricos [Assessment of the energy demand of real internal combustion engine buses in order to implement electric buses]. http://dspace.uazuay.edu.ec/handle/datos/7609

Derechos de autor: 2024 Por los autores. Este artículo es de acceso abierto y distribuido según los términos y condiciones de la licencia Creative Commons Atribución-NoComercial-CompartirIgual 4.0 Internacional (CC BY-NC-SA 4.0)

https://creativecommons.org/licenses/by-nc-sa/4.0/